

25

И Н С Т И Т У Т  
ЯДЕРНОЙ ФИЗИКИ СОАН СССР

И Я Ф 38 - 72

А.М.Шалагин

АПЕРТУРНЫЕ ЭФФЕКТЫ ПРИ ВЗАИМОДЕЙСТВИИ  
ЛАЗЕРНОЙ ВОЛНЫ С ГАЗОВОЙ СРЕДОЙ

Новосибирск

1972

А.М.Шалагин

## АПЕРТУРНЫЕ ЭФФЕКТЫ ПРИ ВЗАИМОДЕЙСТВИИ ЛАЗЕРНОЙ ВОЛНЫ С ГАЗОВОЙ СРЕДОЙ

### А Н Н О Т А Ц И Я

В работе анализируются распределение возбужденных атомов по скоростям и характеристики "провала" Лэмба в газе низкого давления при учете угловой расходимости световой волны. Показано, что пространственная неоднородность, вызванная угловой расходимостью волны, приводит к зависимости характеристик "провала" Лэмба от существенно иных параметров, чем в случае пространственной неоднородности, обусловленной лишь изменением амплитуды поля. Отмечается, однако, что в реальных системах апертурные эффекты проявляются весьма слабо и ими, за исключением специальных случаев, можно пренебречь. Обсуждается вопрос о сдвиге "провала" Лэмба относительно частоты атомного перехода.

## 1. Введение

При решении ряда лазерных задач необходимо учитывать изменение электромагнитного поля на длине свободного пробега активной частицы (малые давления, долгоживущие системы). Этот вопрос в общем виде был рассмотрен в работах /1,2/, однако в конкретных расчетах волновой фронт световой волны считался плоским и учитывалось лишь изменение амплитуды поля. В то же время В.С.Лебоховым /3/ и авторами работы /4/ было указано, что изменение фазы поля, связанное с искривлением волнового фронта, может привести к существенно иным физическим эффектам, чем изменение амплитуды. В работах /3,4/, однако, проведено лишь качественное рассмотрение, недостаточное для анализа реальных систем и практического выбора их параметров. Поэтому в развитие работ /1,2/ ниже дается, по возможности, полный анализ роли искривления волнового фронта. Забегая вперед, отметим, что результаты наших расчетов существенно отличаются от некоторых качественных выводов /3,4/.

Будем исходить из следующих уравнений для элементов матрицы плотности /1/:

$$(\Gamma + \vec{v} \nabla) \rho_j = Q_j W(\vec{v}) \pm 2 \operatorname{Re} \{ i G g(\vec{z}) \rho_{mn} \}, \quad j = m, n; \quad (1.1)$$

$$(\Gamma - i\Omega + \vec{v} \nabla) \rho_{mn} = i G g^*(\vec{z}) (\rho_m - \rho_n); \quad \Omega = \omega - \omega_{mn};$$

$$\rho_j = \rho_{jj}; \quad G = E d_{mn} / 2\hbar; \quad \rho_{mn} = \rho e^{-i\Omega t}.$$

Здесь функция  $g(\vec{z})$  задает пространственную конфигурацию внешнего поля, которое мы выбрали в виде монохроматической волны, с амплитудой  $E$  и частотой  $\omega$ . Временная зависимость выделена в явном виде.  $d_{mn}$ ,  $\omega_{mn}$  —матричный элемент дипольного момента и частота перехода  $m \rightarrow n$ . Возбуждение будем считать максвелловским и однородным в пространстве.

Определим характерные параметры, входящие в задачу. Для этого достаточно ограничиться линейным (по  $G$ ) приближением. При разложении  $g^*(\vec{z})$  по плоским волнам поляризация, наведенная в атоме (точнее, недиагональный матричный элемент  $\rho^{(z)}$ ), имеет вид

$$\rho^{(1)}(\vec{z}, \vec{v}) = iGN \int d\vec{k}' \frac{e^{i\vec{k}' \cdot \vec{z}} g(\vec{k}')}{\Gamma - i(\Omega - \vec{k}' \cdot \vec{v})} W(\vec{v}) = \\ = iGN \int_0^\infty e^{-(\Gamma - i\omega)\tau} g^*(\vec{z} - \vec{v}\tau) d\tau W(\vec{v}); \quad (1.2)$$

$$g(\vec{k}') = \frac{1}{(2\pi)^3} \int e^{-i\vec{k}' \cdot \vec{z}} g^*(\vec{z}) d\vec{z}; \quad N = Q_m/\Gamma_m - Q_n/\Gamma_n.$$

Для плоской бегущей волны  $g(\vec{k}') = \delta(\vec{k}' - \vec{k})$ . Если же амплитуда поля изменяется в пространстве или волновой фронт искривлен, то возникает спектр пространственных гармоник, и  $g(\vec{k}')$  отлична от  $\delta$ -функции. В этом пункте изменение амплитуды и фазы поля проявляются одинаково.

Выделим в  $g(\vec{z})$  амплитудный и фазовый множитель

$$g(\vec{z}) = A(\vec{z}) e^{i\varphi(\vec{z})};$$

$$\rho^{(1)}(\vec{z}, \vec{v}) = iGN W(\vec{v}) \int_0^\infty e^{-\Gamma\tau} A(\vec{z} - \vec{v}\tau) e^{i[\Omega\tau - \varphi(\vec{z} - \vec{v}\tau)]} d\tau. \quad (1.3)$$

Очевидно, что  $\varphi(\vec{z}) = \text{const}$  — уравнение, определяющее волновой фронт, а  $\nabla \varphi(\vec{z})$  суть локальный волновой вектор  $K$ , перпендикулярный фронту (рис.1). Предположим, что фаза поля меняется значительно быстрее, чем амплитуда и множитель затухания. Тогда основной вклад в интеграл (1.3) дает область вблизи точки  $\vec{z}_m$ , где

$$\Omega + \vec{v} \nabla \varphi \Big|_{\vec{z} = \vec{z}_m} = 0, \quad (1.4)$$

т.е. там, где локальный допплеровский сдвиг и  $\Omega$  компенсируют друг друга. Если  $\Omega = 0$ , то траектория частицы в этой точке касается волнового фронта. Разложим фазу в ряд в окрестности  $\vec{z}_m$  и ограничимся квадратичным членом:

$$\varphi(\vec{z}) = \varphi(\vec{z}_m) - \vec{v} \nabla \varphi \Big|_{\vec{z}_m} (\vec{z} - \vec{z}_m) + \frac{v^2}{2} (\vec{z} - \vec{z}_m)^2 \frac{d^2 \varphi}{ds^2} \Big|_{\vec{z}_m}; \quad (1.5)$$

$$\rho(\vec{z}, \vec{v}) = i G N W(\vec{v}) \int_0^\infty e^{-i \vec{r} \cdot \vec{z}} f(\vec{z} - \vec{v} \tau) \exp \left\{ i \left[ \Omega - \frac{v^2}{2} (\vec{z} - \vec{z}_m) \frac{d^2 \varphi}{ds^2} \right] (\tau - \tau_m) \right\} \cdot \exp \{ i [\vec{K} \vec{v} \tau - \varphi(\vec{z}_m)] \} d\tau; \quad \nabla \varphi \Big|_{\vec{z}_m} \equiv \vec{K}; \quad \vec{z}_m = \vec{z} - \vec{v} \tau_m;$$

$$ds = |\vec{v}| d\tau.$$

Величина  $d^2 \varphi / ds^2$  есть значение второй производной вдоль траектории частицы, вычисленное в точке  $\vec{z}_m$ . Отличие от нуля этой величины свидетельствует об искривлении волнового фронта. Действительно, из начал векторного анализа следует

$$\begin{aligned} \frac{d\varphi}{ds} &= \frac{\vec{v}}{|\vec{v}|} \nabla \varphi; \quad \frac{d^2 \varphi}{ds^2} = \frac{1}{|\vec{v}|^2} \vec{v} \nabla (\vec{v} \nabla \varphi) = \\ &= \frac{1}{|\vec{v}|^2} \vec{v} \nabla (\vec{v} \vec{n} |\nabla \varphi|), \end{aligned} \quad (1.6)$$

где  $\vec{n}$  — единичный вектор нормали к волновому фронту. Для монохроматической волны  $|\nabla \varphi| = |\vec{K}| = \omega/c = \text{const}$ , поэтому

$$\begin{aligned} \frac{d^2 \varphi}{ds^2} &= \frac{|\nabla \varphi|}{|\vec{v}|^2} \vec{v} \nabla (\vec{v} \vec{n}) = \frac{K}{|\vec{v}|^2} \vec{v} \left[ \vec{v} \frac{\partial}{\partial s_\tau} (\vec{v} \vec{n}) + \vec{n} \frac{\partial}{\partial s_\tau} (\vec{v} \vec{n}) \right] = \\ &= \frac{K}{|\vec{v}|^2} \vec{v} \vec{v} \frac{\partial}{\partial s_\tau} (\vec{v} \vec{n}) = K \frac{v_\tau^2}{|\vec{v}|^2} \frac{1}{R}, \\ R &= \left| \frac{\partial \vec{n}}{\partial s_\tau} \right| = \left| \frac{\partial \vec{v}}{\partial s_\tau} \right|; \quad v_\tau = \vec{v} \vec{v}. \end{aligned} \quad (1.7)$$

Здесь  $\hat{\mathcal{S}}$  — единичный вектор вдоль касательной к волновому фронту, а  $R$  имеет смысл радиуса кривизны волнового фронта.

Из (1.5) следует, что искривление волнового фронта можно интерпретировать как изменение частоты атомного осциллятора или частотную модуляцию, которая в приближении (1.5) соответствует линейному изменению частоты со временем. Характерный масштаб изменения экспоненты  $\exp\{-i \frac{v^2}{2} (\tau - \tau_m)^2 d^2\varphi/dS^2\}$  в (1.5) определяется соотношением

$$\frac{v^2 K}{R} (\tau - \tau_m)^2 \sim 2\pi; \quad v_{\tau}(\tau - \tau_m) \sim \sqrt{2R/K} = \sqrt{2\lambda R} = b. \quad (1.8)$$

т.е. значение экспоненты существенно изменяется при прохождении частицей такого расстояния, на котором набег фазы за счет искривленного фронта становится  $\sim 2\pi$ . Это расстояние  $b$  есть размер первой зоны Френеля при наблюдении вдоль  $\hat{\mathcal{K}}$  из бесконечности.

Итак, мы имеем четыре характерных пространственных масштаба: среднюю длину свободного пробега  $\ell = \bar{v}/\Gamma$ , характерный масштаб  $(a)$  изменения амплитуды поля, радиус  $R$  кривизны волнового фронта и размер  $(b)$  первой зоны Френеля. Соотношение между этими параметрами и будет определять специфику пространственной неоднородности задачи. Мы будем предполагать  $R \gg a, b, \ell$ . Вопрос о преимущественном влиянии частотной либо амплитудной модуляции связан, очевидно, с соотношением между размерами  $a$  и  $b$ , если, разумеется, длина свободного пробега  $\ell$  достаточно велика (долгоживущие системы).

## 2. Бегущая сферическая волна

Во многих случаях задачи с частотной и амплитудной модуляцией неразделимы; однако, для выяснения характерных особенностей частотной модуляции будем считать амплитуду поля постоянной. Эта схема соответствует условию малости длины свободного пробега по сравнению с диаметром светового пучка и радиусом кривизны волнового фронта. Световую волну в этом случае можно считать сферической.

Для большей простоты анализа рассмотрим вначале бегущую волну (расходящуюся или сходящуюся). Из соображения симметрии

достаточно исследовать характеристики среды в одной точке пространства, характеризующейся радиусом-вектором  $\vec{z}_o$  и удаленной на расстояние  $z_o$  от центра волны (рис.2). Через эту точку проведем ось  $z$ , параллельную волновому вектору  $\vec{k}$ . Функцию  $g(\vec{z})$  из (1.1) в окрестности  $\vec{z}_o$  можно представить в виде:

$$g(\vec{z}) = e^{-i[\kappa z + \kappa(x^2+y^2)/2z_o]}, \quad (2.1)$$

где использовано разложение (1.5) для фазы  $\varphi(\vec{z})$ , означающее замену сферического фронта параболическим. Кроме того, мы пренебрегли изменением амплитуды поля и радиуса кривизны ( $z_o$ ) вдоль  $\vec{k}$ . Это (а также приближение (2.1)) вполне оправдано в рамках принятого условия

$$\ell = \bar{v}/\Gamma \ll z_o. \quad (2.2)$$

Уравнения (1.1) будем решать методом последовательных приближений (по параметру  $G$ ), предполагая условия стационарными.

Вычисление поляризации первого порядка в наиболее интересном предельном случае

$$\Gamma \ll \kappa \bar{v} \quad (2.3)$$

не представляет труда. Действительно, спектр значений  $\vec{k}'$  в выражении (1.2) для  $\rho^{(1)}(\vec{z}, \vec{v})$  сосредоточен вблизи  $\vec{k}$ , так что при усреднении по скоростям  $\vec{v}$  с учетом (2.3) максвелловскую экспоненту можно считать единицей:

$$\langle \rho^{(1)}(\vec{z}, \vec{v}) \rangle_{\vec{v}} = \frac{iG\Lambda\Gamma\bar{v}}{\kappa\bar{v}} e^{-(\Omega/\kappa\bar{v})^2} g(\vec{z}). \quad (2.4)$$

Таким образом, поляризация первого порядка в приближении (2.3) "чувствует" локальное значение поля, независимо от соотношения параметров  $a, b, \ell$ , т.е. так же, как и в пространственно однородной задаче. Этот результат есть обобщение вывода, сделанного в [1,2].

Для выяснения физики явления полезно, однако, проанализировать выражение (1.2), не усредняя по скоростям. Интегрирование (1.2) вдоль траектории частиц, проходящих через точку  $\vec{z}_o$ , даёт:

$$\rho^{(1)}(v, u; x, z) = -G \mathcal{N} W(u) W_M(v) \sqrt{\frac{\pi}{4i}} \frac{b}{u} e^{i \frac{x^2}{b^2} + i k z - i [\bar{z} - i \frac{\Gamma b}{2u}]^2} [1 + \Phi\left(\frac{\bar{z} - i \Gamma b / 2u}{\sqrt{i}}\right)], \quad (2.5)$$

$$\bar{z} = \frac{x}{b} - \frac{b}{2u} (\Omega - kv), \quad b = \sqrt{2z_0/\kappa}, \quad W_M(v) = \frac{1}{\sqrt{\pi} v} e^{-v^2/v^2}.$$

Здесь  $v$  — проекция скорости на ось  $z$ ;  $u$  — величина скорости  $\vec{u}$ , перпендикулярной оси  $z$ ; ось  $x$  направлена вдоль  $\vec{u}$ ; значение  $x=0$  соответствует нахождению частицы в точке  $\vec{z}_0$ ;  $\Phi(z)$  — интеграл вероятности от комплексного аргумента. В соответствии с выбранной нами нормировкой, величина (2.5) есть поляризация среды в некоторой точке  $(\bar{z})$ , обусловленная ансамблем частиц с заданной скоростью (рис.2). Переменная  $\bar{z}$  определяет расстояние по оси  $x$  в масштабе  $b$  — характерного размера порядка размера первой зоны Френеля. Нетрудно проверить, что  $\bar{z} = 0$  эквивалентно соотношению (1.4), т.е. в точке с координатами  $x_m$ ,  $z_m$ , обращающими в нуль величину  $\bar{z}$ , локальный допплеровский сдвиг компенсируется расстройкой частоты  $\Omega$ , и, следовательно, взаимодействие с полем в этой точке максимально. Таким образом,  $\bar{z}$  есть число зон Френеля (вдоль оси  $x$ ), отделяющих частицу в данный момент от места, где наиболее эффективно взаимодействие с полем.

Исследуем поведение функции (2.5) в зависимости от различных входящих в неё параметров. Прежде всего заметим, что при  $\Gamma b/u \gg 1$  (медленные частицы или большие константы  $\Gamma$ )

$$\begin{aligned} \rho^{(1)}(v, u; x, z) &= i G \mathcal{N} W(u) W_M(v) \frac{\exp[i x^2/b^2 + ikz]}{\Gamma - i[\Omega - kv + \kappa u x/z_0]} = \\ &= i G \mathcal{N} W(u) W_M(v) \frac{g(x, z)}{\Gamma - i(\Omega - kv)}, \end{aligned} \quad (2.6)$$

в полном соответствии с тем, что в данном приближении частица должна "чувствовать" локальное значение поля. Здесь  $\vec{K}$ ,  $\vec{v}$  - волновой вектор в точке с координатами  $x$ ,  $z$  и полная скорость.

С точки зрения эффектов частотной модуляции более интересным является обратный предельный случай

$$\Gamma b/u \ll 1 \quad (2.7)$$

на котором мы и остановимся подробней. В точке  $\xi = 0$  (радиус-вектор  $\vec{r}_m$ , координаты  $x_m$ ,  $z_m$ ; рис.2) имеем

$$\rho^{(1)}(u, v; x_m, z_m) = -G \sqrt{\frac{\pi}{4i}} N W(u) W_M(v) \frac{b}{u} e^{i \frac{x_m^2}{b^2} + i K z_m} \quad (2.8)$$

Экспоненциальный фазовый множитель здесь такой же, как и в (2.6), однако, предэкспонента, во-первых, сдвинута по фазе на  $\pi/4$  и, во-вторых, по модулю значительно меньше, чем в (2.6) (при условии  $\Omega = \vec{K} \vec{v}$ ). В этом проявляется эффект "раскачки" атомного осциллятора. А именно, частица реагирует на значение поля не сразу, а с некоторым запозданием, так, что при пролете области взаимодействия с полем поляризация не успевает полностью "раскачаться". Об этом же говорит и наличие множителя  $1/u$  в (2.8): чем больше скорость частицы, тем в меньшей степени она поляризована в точке с координатами  $x_m$ ,  $z_m$ .

В предельном случае  $\xi \gg 1$  из (2.5) следует

$$\begin{aligned} \rho^{(1)}(v, u; x, z) &= -2G \sqrt{\frac{\pi}{4i}} e^{i K z_m + i \frac{x_m^2}{b^2} - (\Gamma - i \Omega) b \xi / u}; \\ x_m &= \frac{b^2}{2u} (\Omega - kv); \quad z - z_m = (x - x_m) v / u. \end{aligned} \quad (2.9)$$

Если все еще  $|\Gamma - i \Omega| b \xi / u \ll 1$ , то значение (2.9) превышает (2.8) в 2 раза. С дальнейшим ростом поляризация релаксирует с постоянной распада  $\Gamma$  и одновременно осциллирует с частотой  $\Omega$ . В сторону  $\xi < 0$  величина  $\rho^{(1)}$  быстро затухает (на интервале  $|\xi| \sim 1$ ).

Таким образом, в рамках условия (2.7) при пролете частиц через точку  $\xi = 0$  их поляризация накапливается на расстоянии по-

рядка размера нескольких зон Френеля (причем значение поляризации при  $\xi = 0$  примерно в два раза меньше максимального значения), а затем медленно релаксирует на протяжении  $\Delta \xi \sim u/\Gamma b$  (или  $\Delta x \sim u/\Gamma$ ). Эффективное взаимодействие с полем происходит на участке накопления ("раскачки") поляризации.

Обратимся теперь к эффектам насыщения в распределении заселеностей по скоростям. Поправка к заселенности уровня  $j$  ( $j = m, n$ ) за счет поля имеет вид (для частиц, траектории которых проходят через выбранную точку  $\vec{z}_0$ ):

$$\Delta \rho_j = \mp 2 G^2 N W(u) W_m(v) \frac{\ell^2}{u^2} \operatorname{Re} \int_0^\infty \frac{\ell^{i\tau^2 - [\Gamma b/u + 2i\xi] \tau}}{\Gamma b/u - 2i\tau} d\tau ;$$

$$\xi = \frac{x}{b} - \frac{b}{2u} (\Omega - kv).$$
(2.10)

Это значение отнесено к точке, смешенной вдоль траектории и имеющей координату  $X$ . Ось  $X$ , по-прежнему, направлена вдоль поперечной скорости  $\vec{u}$ , а  $v$  есть проекция скорости на ось  $\xi$ . При  $X=0$  выражение (2.10) описывает изменение заселенности в точке  $\vec{z}_0$  (рис.2). Зависимость  $\Delta \rho_j$  от радиальной ( $v$ ) и касательной ( $u$ ) скоростей существенно разная. Нетрудно убедиться ( $X=0$ ), что интеграл в (2.19) вместе с множителем  $1/u^2$  как функция  $u$  имеет максимум при  $u=0$ , независимо от значения комбинации  $\Omega - kv$ . Как функция  $v$  формула (2.10) описывает "провал" Беннета, положение минимума (максимума) которого зависит от значения частоты  $\Omega$ . Обсудим детально структуру этого "провала". Для большей наглядности положим  $\Omega = 0$ .

Для медленных частиц ( $\Gamma b/u, \Gamma_j b/u \gg 1$ ) формула (2.10) переходит в известную формулу локальной задачи ( $X=0$ ):

$$\Delta \rho_j = \mp 2 G^2 N W(u) W_m(v) \operatorname{Re} \frac{1}{\Gamma - i(\Omega - kv)} .$$
(2.11)

В общем случае интеграл (2.10) через известные функции не выражается, однако, при условии  $\Gamma b/u, \Gamma_j b/u \ll 1$  можно получить два его предельных значения, а именно:

$$\Delta \rho_j = \mp G^2 N \frac{\pi b^2}{4u^2} W(u) W_M(v) \quad \text{при } \xi = 0 ; \quad (2.12)$$

$$\Delta \rho_j = \mp G^2 N \frac{\pi b^2}{u^2} e^{-\Gamma_j \xi b/u} W(u) W_M(v) \quad \text{при } \xi \gg 1 .$$

График функции  $\Delta \rho_j(\xi)$  в этом случае показан на рис. 3. Универсальная переменная  $\xi$  может интерпретироваться здесь либо как пространственная переменная (при фиксированной скорости  $v$ ), либо как "скоростная" переменная (при фиксированном  $X$ ). В первом случае  $\Delta \rho_j(\xi)$  прослеживает изменение заселенности уровня  $j$  вдоль траектории движения. Объяснение этого графика в свете сказанного выше относительно поляризации уже не вызывает затруднений. А именно, в точке  $\xi = 0$  траектория касается волнового фронта ( $\Omega = 0$ ). В окрестности (размером порядка  $b$ ) этой точки заселенности изменяют свое значение, причем максимальное изменение может, как видно из (2.12), в четыре раза превышать изменение в точке  $\xi = 0$ . После того, как частицы пролетают эту область, взаимодействие с полем прекращается и заселенности по экспоненциальному закону приходят к равновесному ненасыщенному значению. В качестве константы релаксации фигурирует, по вполне понятным причинам, не  $\Gamma$ , а  $\Gamma_j$ . Информация о взаимодействии с полем (в смысле изменения заселенностей) может проникать, таким образом, на расстояние  $\Delta X \sim u/\Gamma_j$  по оси  $X$ , т.е. на длину свободного пробега со скоростью  $u$  по отношению к тушению уровня  $j$ .

При фиксированном значении  $X$  график рис.3 передает форму "провала" Беннета в распределении по  $v$ . В рассматриваемой точке  $\xi_0$  значение  $X$  равно нулю, так что при  $\Omega = 0$  величина  $\xi$  пропорциональна  $v$ . В структуре "провала" Беннета имеется качественное различие между разными частями его. Действительно, крутая часть "провала" шириной  $\sim 2u/b$  в окрестности  $v = 0$  определяет насыщение частиц, которые взаимодействуют

с полем в окрестности точки  $\vec{z}_o$  (при  $v=0$  в точке  $\vec{z}_o$  траектория касается волнового фронта). При больших  $v$ , на медленно спадающей части функции  $\Delta \phi_j$  изменение заселенности в точке  $\vec{z}_o$  обусловлено другими частицами, а именно теми, которые провзаимодействовали с полем в точках, удаленных от  $\vec{z}_o$ , и принесли сюда информацию в виде измененных заселенностей. Естественно, эти частицы взаимодействовать с полем в  $\vec{z}_o$  уже не могут.

Асимптотический вид (2.12) функции  $\Delta \phi_j(\xi)$  позволяет оценить ширину "провала" Беннета  $\Delta v$  для фиксированной скорости  $u \gg \Gamma_b, \Gamma_j$ :

$$\Delta v \sim 2 u^2 / \Gamma_j^2 K. \quad (2.13)$$

Тот же результат можно получить из следующих наглядных рассуждений. Максимальное расстояние по оси  $X$ , с которого может прийти в точку  $\vec{z}_o$  информация о взаимодействии с полем (в виде измененной заселенности) есть  $X_{\max} \sim u/\Gamma_j$ . Для того, чтобы в этой максимально удаленной точке произошло касание волнового фронта, частица должна лететь под определенным углом к оси  $Z$ , т.е. иметь определенную скорость  $v$ . Для её определения необходимо  $X_{\max}$  подставить в выражение для  $\xi$  (при  $\Omega=0$ ) и положить  $\xi=0$ . Отсюда без труда получим  $\Delta v \sim 2 u^2 / \Gamma_j^2 K$ ,

что согласуется с (2.13). Эти рассуждения иллюстрирует рис.4.

Характерно, что ширина "провала" оказывается разной для верхнего и нижнего уровней, если различны константы релаксации ( $\Gamma_m \neq \Gamma_n$ ). Эта разница остается и после усреднения по скоростям  $u$ .

Наличие множителя  $u^{-2}$  в (2.12) также отражает эффект "раскачки" атомного осциллятора. Он показывает, что вклад в насыщение довольно резко уменьшается с ростом скорости  $u$ . Уменьшение  $u$  ведет к сужению "провала" Беннета за счет медленно спадающей части (член  $\propto \exp[-\Gamma_j \Gamma_b \xi / u]$  в (2.12)), а также к резкому возрастанию в максимуме. В предельном случае малых скоростей ширина "провала", в соответствии с (2.11), есть  $\sim \Gamma/K$ , а значение в максимуме в  $\Gamma u^2 / 2\pi \Gamma_b^2$  раз больше, чем в приближении (2.12).

Полное распределение заселенности (например верхнего уровня  $m$  при усилении) при произвольной  $\Omega$  и при условии  $u \gg \Gamma_b, \Gamma_b$  имеет вид, показанный на рис. 5 сплошной линией.

На основе полученных результатов можно уже сделать некоторые заключения о ширине "провала" Лэмба, появляющегося при наличии двух встречных волн. В этом случае, при отличной от нуля отстройке частоты  $\Omega$ , в распределении по скоростям появляется второй "провал" Беннета (показан пунктиром на рис. 5) с каждой из волн взаимодействуют разные частицы. При сканировании частоты "провалы" могут перекрыться, в результате чего одна частица может взаимодействовать с обеими волнами (одновременно либо последовательно). Это приводит к увеличению насыщения и, как следствие, появлению "провала" Лэмба в графике работы поля как функции  $\Omega$ . Перекрытие "провалов" Беннета осуществляется в интервале

$$\Delta\Omega \sim \Delta\nu/K, \quad (2.14)$$

где  $\Delta\nu$  —ширина "провала". Используя (2.13), можно оценить ширину "провала" Лэмба  $\Delta\Omega$  для быстрых частиц (по отношению к уровню  $j$ )

$$\Delta\Omega \sim \frac{u}{\Gamma_b} \left( \frac{u}{b} \right). \quad (2.15)$$

В этом пункте эффекты частотной модуляции существенно отличаются от эффектов амплитудной модуляции. В последнем случае для плоского волнового фронта и такого же эффективного размера  $b$  области взаимодействия с полем (т.е. диаметра светового пучка) для быстрых частиц выполнялось соотношение /2/  $\Delta\Omega \sim u/b$ , что много меньше величины, даваемой формулой (2.15). Таким образом, чисто частотная модуляция может значительно уширить "провал" Лэмба по сравнению с чисто амплитудной модуляцией.

Окончательный вопрос о ширине и форме "провала" может быть решен при учете распределения по скоростям  $u$  в члене насыщения для работы поля. Для этого необходимо рассмотреть взаимодействие со стоячей волной.

### 3. Частотная модуляция. Стоячая сферическая волна

В рамках рассмотренной выше схемы функцию  $g(\vec{z})$  для стоячей сферической волны можно представить в виде

$$g(\vec{z}) = \cos k(z + \frac{x^2 + y^2}{2z_0}). \quad (3.1)$$

В результате решения уравнений (1.1) с этой функцией  $g(\vec{z})$  получаем следующее выражение для работы поля в единицу времени с учетом первой поправки на насыщение:

$$\begin{aligned} \mathcal{P}(\vec{z}_0, u) = & \hbar \omega \frac{G^2 N \sqrt{\pi}}{k \bar{v}} e^{-(\Omega/k \bar{v})^2} W(u) \left\{ 1 - \right. \\ & \left. - \frac{G^2 b^2}{2u^2} \operatorname{Re} \sum_{j=m,n}^{\infty} \frac{e^{iz^2 - \sqrt{2} \Gamma_j b / u}}{\sqrt{2} \Gamma_j b / u - 2iz} (1 + \cos \frac{\sqrt{2} b}{u} \Omega \tau) d\tau \right\}. \end{aligned} \quad (3.2)$$

Величина  $\mathcal{P}$  вычислена в интересующей нас точке  $\vec{z}_0$  и уже усреднена по продольным скоростям  $\bar{v}$ . Второй член в фигурных скобках определяет насыщение, а косинусная часть его описывает "провал" Лэмба. Для определения структуры "провала" необходимо исследовать интеграл

$$\begin{aligned} J_j(\Omega) &= J'_j(\Omega) + J'_j(-\Omega); \\ J'_j(\Omega) &= \operatorname{Re} \frac{b^2}{u^2} \int_0^\infty \frac{e^{iz^2 - \sqrt{2} (\Gamma_j + i\Omega) b z / u}}{\sqrt{2} \Gamma_j b / u - 2iz} dz W(u). \end{aligned} \quad (3.3)$$

Нетрудно заметить, что интеграл  $J'_j(\Omega)$  совпадает с интегралом (2.8) с точностью до переобозначения констант. Это означает, в частности, что для быстрых частиц функция  $J'_j(\Omega)$  описывается универсальным графиком рис.3, где в качестве переменной  $\xi$  выступает величина  $\Omega b / \sqrt{2} u$ . Значения функции  $J(\Omega)$ , описывающей "провал" Лэмба, получаются сложением графика рис.3 с

ему симметричным относительно точки  $\xi = 0$ . В результате сложения получаем график рис.6, изображающий "провал".

Структура "провала", как видно из рисунка, получается сложной. Это является новым физическим результатом, характерным для случая частотной модуляции. Возникшая в центре "провала" узкая структура имеет характерную ширину  $\Delta \Omega \sim u/b$ , которая определяется временем пролета первой зоны Френеля. Контрастность структуры для быстрых частиц может достигать  $1/2$ .

Полная ширина "провала" оценивается из асимптотической формы функции  $J_j(\Omega)$  при  $\Omega \gg \sqrt{2}u/b$ :

$$J_j(\Omega) = \frac{\pi b^2}{2u^2} e^{-\Gamma_j \Omega / b^2 / u^2} W(u). \quad (3.4)$$

Функция  $J_j(\Omega)$  убывает в  $e$  раз по сравнению со значением в максимуме при

$$\Omega = \left( \frac{u}{\Gamma_j b} \right) \frac{u}{b}, \quad (3.5)$$

следовательно оценка (2.15) была сделана верно.

Увеличение параметров  $\Gamma b/u$ ,  $\Gamma_j b/u$  приводит к следующему изменению графика рис.6. Вначале происходит как полное сужение "провала" за счет крыльев, так и сужение узкой структуры. Однако, полная ширина уменьшается быстрее (пропорционально  $u^2$ ), чем ширина узкой структуры (пропорциональность первой степени  $u$ ). При  $\Gamma b/u, \Gamma_j b/u \sim 1$  узкая структура пропадает, и ширина "провала" становится порядка ширины линии  $\Gamma$ . Дальнейшее уменьшение скорости приводит к известной формуле пространственно однородной задачи

$$\mathcal{P} = \hbar \omega \frac{G^2 N \sqrt{\pi}}{K \bar{v}} e^{-(\frac{\Omega}{K \bar{v}})^2} W(u) \left\{ 1 - \frac{G^2}{4\Gamma} \left( \frac{1}{\Gamma_m} + \frac{1}{\Gamma_n} \right) \left( 1 + \frac{\Gamma^2}{\Gamma^2 + \Omega^2} \right) \right\}, \quad (3.6)$$

где "провал" Лэмба имеет обычную лорентцеву форму с параметром  $\Gamma$ .

Выясним причину возникновения узкой структуры в "провале". Для этого вновь обратимся к распределению заселеностей по скоростям  $\mathcal{V}$ . При  $\Omega = 0$  "провалы" Беннета, образованные сходящейся и расходящейся волнами, сливаются в один, часть которого изображена на рис.7а (его форма несколько утрирована по сравнению с истинной). Как указывалось выше, в точке  $\vec{Z}_0$  взаимодействовать с полем может лишь часть атомов в интервале скоростей  $\mathcal{V}_1 \div \mathcal{V}_2$ . В частности, в создании поляризации третьего порядка (но  $G$ ) участвуют лишь атомы, число которых пропорционально заштрихованной площади. При  $\Omega \gtrsim \mu/6$  "провалы" приходят в положение рис.7б. Взаимодействие со сходящейся волной осуществляется в интервале скоростей  $\mathcal{V}_1^- \div \mathcal{V}_2^-$ , с расходящейся - в интервале  $\mathcal{V}_1^+ \div \mathcal{V}_2^+$ . При других скоростях взаимодействие с полем возможно лишь в других точках пространства. Поляризация третьего порядка здесь также пропорциональна заштрихованной площади, которая примерно в 2 раза превышает таковую на рис.7а. Это, однако, еще не означает большую степень насыщения в работе поля. Действительно, при  $\Omega = 0$  атомы со скоростями  $\mathcal{V}_1 \div \mathcal{V}_2$  взаимодействуют одновременно с обеими волнами, тогда как в положении рис.7б с каждой из волн взаимодействуют разные атомы (напомним, что имеется в виду взаимодействие в точке  $\vec{Z}_0$ ). Таким образом, если бы поляризация третьего порядка мгновенно реагировала на изменение заселенности и на локальное значение поля, то степень насыщения в работе поля была бы одинакова для приведенных на рис.7 значений  $\Omega$ . На самом деле для "раскачки" поляризации требуется определенное время и, кроме того, важно, при каком значении  $\Delta P_j$  эта "раскачка" начинается. Так при  $\Omega = 0$  поляризация третьего порядка "раскачивается" одновременно с "раскачкой"  $\Delta P_j$ , т.к. атомы со скоростями  $\mathcal{V}_1 \div \mathcal{V}_2$  лишь в окрестности  $\vec{Z}_0$  могут взаимодействовать с полем. В ситуации, изображенной на рис.7б, часть атомов со скоростями  $\mathcal{V}_1^+ \div \mathcal{V}_2^+$  уже изменила заселенность под действием сходящейся волны, поэтому условия для "раскачки" поляризации третьего порядка здесь более благоприятны. В результате степень насыщения в работе поля увеличивается. Это и приводит к появлению "пика" в "провале". Для того, чтобы привести "провалы" Беннета в положение рис.7б, необходимо изменить  $\Omega$  на величину  $\Omega \sim \mu/6$ , что согласуется с результатом, данным выше.

Перейдем к обсуждению формы "провала" Лэмба, получающегося в результате усреднения по всему ансамблю частиц, находящихся в тепловом движении. Для этого в формуле (3.2) необходимо проинтегрировать по поперечным скоростям  $\mathcal{U}$ . Рассматривать будем наиболее интересный с точки зрения частотной модуляции случай:

$$\Gamma b/\bar{v}, \Gamma_j b/\bar{v} \ll 1. \quad (3.7)$$

Степень насыщения сильно зависит от скорости частиц  $\mathcal{U}$  (множитель  $\mathcal{U}^{-2}$  в (3.2)), поэтому весьма существенен вид распределения  $W(\mathcal{U})$ . Представляет интерес рассмотреть по крайней мере два случая: одномерное распределение

$$W(\mathcal{U}) = \frac{1}{\sqrt{\pi} \bar{v}} e^{-(\mathcal{U}^2/\bar{v}^2)}, \quad (3.8)$$

отвечающее по сути дела цилиндрической волне, и двумерное

$$W(\mathcal{U}) = \frac{2\mathcal{U}}{\bar{v}} e^{-(\mathcal{U}^2/\bar{v}^2)} \quad (3.9)$$

характерное для более реальных условий (собственно сферическая волна).

Обсудим вначале первый из них. При интегрировании члена насыщения в (3.2) по скоростям  $\mathcal{U}$  наличие множителя  $\mathcal{U}^{-2}$  обеспечивает сходимость интеграла на интервале, значительно меньшим  $\bar{v}$ , так что максвелловскую экспоненту можно заменить единицей. Эффективный интервал скоростей оказывается порядка  $\Gamma b$  и, следовательно ширина "провала" Лэмба определяется шириной линии  $\Gamma$ . Очевидно, что узкой структуры в случае цилиндрической волны "провал" не имеет. Фактическое вычисление даёт:

$$J(\Omega) = \frac{4\bar{v}}{\Gamma_j} \operatorname{Re} \frac{\arctg z}{z}; \quad z = \sqrt{\frac{\Gamma - \Gamma_j/2 + i\Omega}{\Gamma_j/2}}; \quad \bar{v} = \frac{b}{\bar{v}}. \quad (3.10)$$

В простом случае  $\Gamma_m = \Gamma_n = \Gamma$  параметры "провала"  $\gamma$  и  $\vartheta$  ( $\gamma$  — полуширина на половине глубины,  $\vartheta$  — относительная вторая

производная в центре) имеют значение

$$\gamma \approx 3,5 \Gamma, \vartheta \approx 0,46/\Gamma^2. \quad (3.11)$$

При амплитудной модуляции /2/ эти параметры равны:  $\gamma \approx 2,3 \Gamma$ ,  $\vartheta = 2/3 \Gamma^2$ .

Таким образом, в одномерном случае искривление волнового фронта не приводит к заметным изменениям характеристик "провала" Лэмба из-за определяющего влияния медленных частиц.

В двумерном случае дополнительная степень  $\mu$  в распределении  $W(\mu)$  (3.9) приводит к тому, что вклад в насыщение от частиц с большими скоростями становится заметным и пренебречь максвелловской экспонентой уже нельзя. Эффективный интервал скоростей увеличивается, что ведет к уширению "провала".

В результате усреднения по скоростям в формуле (3.3) получим

$$\begin{aligned} J(\Omega) &= \int_0^\infty f(t) \cos(\Omega \bar{\tau} t) dt; \quad \bar{\tau} = \ell/\bar{v}; \\ f(t) &= \frac{1}{2} \frac{\bar{\tau}^2}{t} e^{-\Gamma \bar{\tau} t} \operatorname{Re} \int_0^\infty \frac{e^{-x(1-i\bar{\tau}^2/2)}}{\Gamma \bar{\tau}/t - ix} dx. \end{aligned} \quad (3.12)$$

Таким образом, контур  $J(\Omega)$  получается с помощью Фурье-преобразования функции  $f(t)$ , которую можно представить в виде

$$\begin{aligned} f(t) &= \frac{1}{2} \frac{\bar{\tau}^2}{t} e^{-\Gamma \bar{\tau} t} \left\{ \frac{\Gamma \bar{\tau}}{t} \int_0^\infty \frac{e^{-x} \cos \frac{t^2 x}{2}}{(\frac{\Gamma \bar{\tau}}{t})^2 + x^2} dx - \right. \\ &\quad \left. - \int_0^\infty \frac{x e^{-x} \sin \frac{t^2 x}{2}}{(\frac{\Gamma \bar{\tau}}{t})^2 + x^2} dx \right\}. \end{aligned} \quad (3.13)$$

Нетрудно заметить, что первый интеграл в фигурных скобках всегда больше второго. Действительно, если пренебречь экспонентой  $\exp(-x)$ , то их значения в точности равны друг другу. Так как эффективный интервал  $x$  во втором интеграле больше,

чем в первом, то экспонента уменьшает его значение в большей степени. С увеличением  $t$  относительная разность между интегралами уменьшается и стремится к нулю при  $t \rightarrow \infty$ . Следовательно, функция  $f(t)$  — монотонно убывающая, асимптотически стремящаяся к нулю. Из общих свойств Фурье-преобразований и указанного характера поведения  $f(t)$  следует, что "провал" Лэмба, описываемый функцией  $J(\Omega)$  узкой структурой не обладает, а имеет простую гладкую форму. Исчезновение узкой структуры явилось результатом усреднения по скоростям и объясняется все еще большим влиянием медленных частиц.

Для определения характеристик "провала" исследуем более подробно поведение функции  $f(t)$  в рамках условия (3.7). В области  $\Gamma_j \bar{\tau} \ll t \ll (\Gamma_j \bar{\tau})^{-1}$  из (3.13) легко получить

$$f(t) = \frac{1}{2} \frac{\bar{\tau}^2}{t} e^{-\Gamma_j \bar{\tau} t} \left[ \frac{\pi}{2} - \arctg \frac{t^2}{2} \right]. \quad (3.14)$$

До значений  $t \sim 1$  идет медленное спадание по закону  $t^{-1}$ , далее вступает в строй  $\arctg(t^2/2)$  и при  $t \gg 1$   $f(t)$  уменьшается по закону  $t^{-3}$ . Еще более далекие  $t$  рассматривать не имеет смысла. Вблизи точки  $t=0$  ( $t \ll \Gamma_j \bar{\tau}$ ) функция имеет следующее значение:

$$f(t) \Big|_{t \rightarrow 0} = \frac{1}{2} \frac{\bar{\tau}}{\Gamma_j}. \quad (3.15)$$

Вычисление  $J(\Omega)$  с истинной  $f(t)$  связано с большими трудностями, поэтому мы воспользуемся следующей аппроксимацией функции  $f(t)$ , правильно передающей её ход в характеристических областях изменения  $t$ :

$$f'(t) = \frac{\pi}{4} \bar{\tau}^2 \left[ \frac{1}{t + \Gamma_j \bar{\tau} \pi/2} - \frac{t}{t^2 + 4/\pi} \right] e^{-\Gamma_j \bar{\tau} t}. \quad (3.16)$$

Вычисляя интеграл (3.12) для  $J(\Omega)$  с функцией (3.16), получим:

$$\begin{aligned} J(\Omega) &= \frac{\pi \bar{\tau}^2}{4} \operatorname{Re} \left[ \frac{1}{2} e^{-\alpha} Ei(\alpha) + \frac{1}{2} e^{\alpha} Ei(-\alpha) - e^{\beta} Ei(-\beta) \right]; \\ \alpha &= \frac{2}{\sqrt{\pi}} (\Omega + i\Gamma) \bar{\tau}; \quad \beta = \frac{\pi}{2} \Gamma_j (\Gamma + i\Omega) \bar{\tau}^2. \end{aligned} \quad (3.17)$$

$E_i(z)$  - интегральная показательная функция комплексного аргумента. Функция (3.17) состоит из двух частей, отличающихся характерной областью изменения. Первая часть, содержащая член

$$e^{-\alpha} E_i(\alpha) + e^{\alpha} E_i(-\alpha),$$

изменяется существенно при значении  $\Omega \sim 1/\bar{\tau}$ . Область изменения оставшейся части - значительно больше ( $\Omega \sim 1/\Gamma \bar{\tau}^2$ ). Результирующая функция, тем не менее, в области  $0 < \Omega \lesssim 1/\bar{\tau}$  изменяется не сильно, т.к. обе части в значительной мере компенсируют друг друга. Действительно, для  $\Omega \ll 1/\bar{\tau}$  имеем

$$\mathcal{J}(\Omega) \cong \frac{\pi \bar{\tau}^2}{4} \left[ \ln \left( \frac{4}{\pi^{3/2} \Gamma \bar{\tau}} \right) + \frac{2 \bar{\tau}^2 \Omega^2}{\pi} \ln \sqrt{\frac{4 \bar{\tau}^2}{\pi} (\Gamma^2 + \Omega^2)} \right], \quad (3.18)$$

а, например, в точке  $\Omega = \sqrt{\pi}/2\bar{\tau}$

$$\mathcal{J}(\sqrt{\pi}/2\bar{\tau}) \cong \frac{1}{4} \pi \bar{\tau}^2 \ln (2/\pi \Gamma \bar{\tau}) \quad (3.19)$$

т.е. от  $\Omega=0$  до  $\Omega \sim 1/\bar{\tau}$  функция  $\mathcal{J}(\Omega)$  практически не меняется. Область характерного изменения  $\mathcal{J}(\Omega)$ , таким образом, больше чем  $1/\bar{\tau}$ . Несложные оценки дают следующие значения параметров "провала"  $\gamma$  и  $\vartheta$ :

$$\gamma \cong \frac{1}{\bar{\tau}} \sqrt{2/\pi \Gamma \bar{\tau}}, \quad \vartheta \cong \frac{4}{\pi} \bar{\tau}^2. \quad (3.20)$$

В задаче с плоским волновым фронтом (амплитудная модуляция) и с диаметром светового пучка  $\sim b/2$  эти параметры равны:

$$\gamma \cong \sqrt{\Gamma \bar{\tau}}, \quad \vartheta \cong (\Gamma^2 \ln \frac{1}{\Gamma \bar{\tau}})^{-1}.$$

Полученные результаты показывают, что в случае чисто частотной модуляции "провал" Лэмба может быть значительно шире (примерно в  $1/\Gamma \bar{\tau}$  раз), чем при чисто амплитудной модуляции и диаметром светового пучка  $b$ . Кроме того, выражение (3.20) для ширины "провала" говорит о том, что частица обладает различными спектральными характеристиками в зависимости от того, на каком уровне она находится (величина  $\gamma$  зависит от времени жизни на уровне  $j$ , но не от "времени жизни" поляризации, как

это имеет место в пространственно однородной задаче). Этот эффект, свойственный частотной модуляции, может отчетливо проявиться в случае, если константы релаксации  $\Gamma_m$  и  $\Gamma_n$  уровней существенно различны. А именно, полный контур в (4.6) будет представлять тогда сумму двух контуров разной ширины, так что в результате может возникнуть эффект типа "провал" в "провале".

В случае амплитудной модуляции отмеченная особенность выражена значительно слабее.

Необходимо отметить, что полученные выше результаты отнюдь не означают, что медленные частицы в случае частотной модуляции перестают играть роль. Напротив, если мы предположим, что основной вклад в насыщение дают частицы со скоростями порядка среднетепловой, то для ширины "провала" Лэмба, в соответствии с (3.5), следовало бы:

$$\gamma \sim \frac{1}{\bar{\tau}} \left( \frac{1}{\Gamma_j \bar{\tau}} \right), \quad (3.21)$$

что в  $\sqrt{1/\Gamma_j \bar{\tau}}$  превышает правильное значение (3.20).

Одной из характерных особенностей частотной модуляции является своеобразная зависимость ширины "провала" Лэмба от давления. В соответствии с (3.20), величина  $\gamma$  с ростом давления уменьшается по закону  $1/\sqrt{\Gamma_j}$ . Это своеобразие связано с особым характером механизма уширения при частотной модуляции. Действительно, увеличение времени жизни на уровне приводит к увеличению эффективной области вокруг точки  $\vec{z}_0$ , из которой в  $\vec{z}_0$  приходит информация о взаимодействии с полем. При этом для больших скоростей  $u$  увеличивается эффективный интервал  $\Delta u$  скоростей частиц, изменивших заселенность (например, в точке касания траекторией волнового фронта) и достигших  $\vec{z}_0$ , не успев отрелаксировать, и, как следствие, уширяется "провал" Лэмба. Влияние этого эффекта остается и после усреднения по скоростям  $u$ .

В заключение этого раздела отметим, что при использовании молекулярных пучков в характерным для них распределением

$W(u) \propto u^2 \exp[-u^2/\bar{v}^2]$  "провал" в целом еще более уширится (примерно до значения ширины (3.21)). И, кроме того, усреднение по скоростям не ликвидирует узкую структуру, так что на фоне довольно широкого "провала" должен наблюдать-

ся сравнительно узкий "пик" в центре (ширина порядка  $1/\bar{\tau} \sim \bar{v}/\bar{f}$ ). Это происходит потому, что вклад в насыщение частиц со скоростями  $v \lesssim \bar{f}$  становится очень малым, а для скоростей  $v \gg \bar{f}$  указанный пик существует.

#### 4. Гауссовые пучки

В настоящем разделе мы обсудим вопрос о структуре "привала" Лэмба, принимая во внимание реальную геометрическую конфигурацию поля светового пучка в резонаторе.

Решение дифракционной задачи для стоячей монохроматической волны в диффузационном приближении дает следующую зависимость поля от координат и времени (так называемый гауссов пучок; рассматривается случай аксиальной симметрии):

$$\vec{E} = E_0 \cos \omega t \left[ \frac{a^2}{a^2 - i2z/k} e^{-ikz - (x^2 + y^2)/(a^2 - i2z/k)} + \right. \\ \left. + \frac{a^2}{a^2 + i2z/k} e^{ikz - (x^2 + y^2)/(a^2 + i2z/k)} \right]. \quad (4.1)$$

Здесь  $a$  — параметр, определяющий минимальный поперечный размер пучка (диаметр "шейки");  $E_0$  — значение амплитуды поля в начале координат. Ось  $z$  совпадает с осью пучка, а начало координат находится в "шейке".

Вопрос о влиянии частотной модуляции тесно связан с вопросом о числе зон Френеля, укладывающихся в поперечном сечении пучка. Характерный поперечный размер пучка  $\alpha'$  и радиус кривизны волнового фронта  $R$ , как видно из (4.1), равны соответственно:

$$d = \sqrt{a^2 + 4z^2/k^2 a^2}; \quad R = z + \frac{k^2 \alpha'^4}{4z}. \quad (4.2)$$

Отношение  $d/b$ , где  $b = \sqrt{2R/k}$  — размер первой зоны Френеля, есть

$$d/b = \sqrt{2z/ka^2} = \sqrt[4]{d^2/a^2 - 1}. \quad (4.3)$$

В обычно используемых системах  $d$  больше  $a$  лишь в несколько раз. Если даже  $d/a=10$ , то  $d/b \sim 3$ , т.е. в сечении светового пучка укладывается не более трех зон Френеля.

Покажем, что в этом случае искривление волнового фронта практически не влияет на параметры "провала" Лэмба, т.е. основным эффектом является амплитудная модуляция. Для этого обратимся к распределению по продольным скоростям  $v$  в некоторой точке (например  $Z = Z_0$ ,  $x = y = 0$ ) при фиксированной поперечной скорости  $u$ . Для определенности считаем  $\Omega = 0$ .

Как было показано выше, эффективное взаимодействие частиц с полем осуществляется в окрестности точки касания (при  $\Omega = 0$ ) траекторией частицы волнового фронта. Частицы, пролетающие через точку ( $Z = Z_0$ ,  $x = y = 0$ ), приносят с собой информацию о взаимодействии с полем (в виде измененных заселенностей) при одновременном выполнении двух условий: во-первых, чтобы касание волнового фронта произошло в пределах светового пучка и, во вторых, чтобы заселенности не успели отрелаксировать до того, как частица прилетит в интересующую нас точку. Для выполнения первого требования необходимо, как показывают простые геометрические соображения, чтобы тангенс угла между траекторией и осью  $Z$  был не меньше, чем  $2R/d = b^2 k/d$ . При заданном значении  $u$  это накладывает условие на величину скорости  $v$ , которая может меняться от нуля до

$$v \sim \left(\frac{d}{b}\right) \frac{u}{kb}. \quad (4.4)$$

Это соотношение фактически и определяет ширину "провала" Беннетта для быстрых частиц. Второе требование означает просто, что скорость частицы должна быть достаточно большой (быстрые частицы).

Сравнение (4.4) с (2.13) показывает, что конечный диаметр пучка существенно ограничивает проявление частотной модуляции. Более того, значение ширины "провала" Беннетта (4.4) для быстрых частиц характерно как раз для случая чисто амплитудной модуляции  $/2/$ , так как числовой множитель  $d/b$ , как показано выше, изменяется обычно лишь в пределах нескольких единиц.

В пересчете на ширину "провала" Лэмба (4.4) даёт

$$\Delta \Omega \sim \left(\frac{d}{\ell}\right) \frac{u}{\ell} \cong u/a, \quad (4.5)$$

т.е. для быстрых частиц ширина "провала" определяется временем пролета диаметра "шейки". После усреднения по скоростям  $u$  параметры "провала" также практически не отличаются от значений, даваемых задачей с плоским волновым фронтом /2/.

Приведенные оценки убеждают в том, что в большинстве практически важных случаев при решении лазерных задач можно не принимать во внимание расходимость светового пучка и пользоваться приближением плоского фронта. Фактический расчет приводит к тому же результату.

В некоторых частных ситуациях может возникнуть необходимость применения сильно сфокусированного пучка (почти концентрические резонаторы) или рассмотрения области, настолько удаленной от шейки, что диаметр пучка становится много больше размера зоны Френеля. В этом случае совместный учет амплитудной и частотной модуляции приводит к следующему выражению для работы поля в единицу времени:

$$\begin{aligned} \mathcal{P}(u) = & t\omega \frac{G^2 N \sqrt{\pi}}{K \bar{v}} e^{-(\Omega/k\bar{v})^2} W(u) \left\{ 1 - \right. \\ & \left. - \frac{G^2 \sqrt{\pi}}{4} \sqrt{\frac{\pi}{2(\beta + \beta^*)}} \operatorname{Re} \sum_{j=m,n}^{\infty} \int_0^{\infty} d\tau e^{-\Gamma\tau} (1 + \cos \Omega\tau) \cdot \right. \\ & \left. \cdot \exp \left[ -\frac{\beta\tau^2}{2} + \frac{(\beta\tau + \bar{j})^2}{2(\beta + \beta^*)} \right] \left[ 1 - \phi \left( \frac{\beta\tau + \bar{j}}{\sqrt{2(\beta + \beta^*)}} \right) \right] \right\}; \quad \beta = \frac{u^2}{a^2 + i2z/k}. \quad (4.6) \end{aligned}$$

Величина  $\mathcal{P}$  здесь уже усреднена по продольным скоростям  $u$ , кроме того, проведено интегрирование по поперечному сечению пучка. Таким образом, величина  $\mathcal{P}$  в (4.6) есть работа поля над ансамблем частиц, имеющим фиксированную поперечную скорость  $u$ , максвелловское распределение по продольным скоростям  $\bar{v}$  и распределенным равномерно по объему.

Соотношение между мнимой и вещественной частями величины  $\beta$  определяет относительное влияние частотной и амплитудной модуляций. Формальный переход  $Re \beta \rightarrow 0$  ( $a \rightarrow 0$ ) приводит к формуле, аналогичной (3.2). Однако фактически формула (3.2) справедлива лишь при условии (условие асимптотического разложения интеграла вероятности  $\Phi$  в (4.6)):

$$\Gamma \gg 2 \sqrt{Re \beta} = 2u/d, \quad (4.7)$$

т.е. когда время жизни на уровне много (4.7) меньше времени пролета радиуса пучка. Это приближение рассмотрено в предыдущих разделах, поэтому мы остановимся здесь на другом частном случае.

Будем считать, что время пролета диаметра пучка много меньше времени жизни на уровнях, и кроме того предположим, что  $Im \beta \gg Re \beta$ , т.е. диаметр пучка много больше размера зоны Френеля ( $d \gg b$ ). Из этого, в частности, следует, что  $d \gg a$ . Интеграл в (4.6) при этих условиях берется без труда, и второй член в фигурных скобках приобретает вид:

$$\frac{\pi}{8} G^2 \frac{ad}{u^2} \left[ 1 + e^{-(\Omega a/u)^2} \right]; \quad d \gg b, \quad \Gamma d/u \ll 1. \quad (4.8)$$

Степень насыщения, по-прежнему, пропорциональна  $u^{-2}$ , а ширина "провала" Лэмба оказывается равной

$$\Delta \Omega \sim u/a, \quad (4.9)$$

т.е. определяется временем пролета диаметра "шейки" и линейно зависит от скорости. Оценка (4.9) и характер зависимости насыщения от скорости остаются в силе и без предположения  $d \gg b$ .

Таким образом для реальных конфигураций светового пучка и для быстрых частиц (в том смысле, что их время пролета локального диаметра ( $d$ ) светового пучка много меньше времени жизни на уровнях) ширина "провала" Лэмба практически не зависит от координаты  $Z$ , в которой она вычисляется и равна обратному времени пролета диаметра "шейки".

Учитывая тот факт, что зависимость степени насыщения и ширины "провала" от скорости  $u$  в рассмотренном случае такая

же, как в задаче с плоским фронтом, можно привести окончательные значения параметров "провала", полученного в результате усреднения по поперечным скоростям при выполнении условия

$$\Gamma_j d / \bar{v}, \Gamma d / \bar{v} \ll 1. \quad (4.10)$$

В двумерном случае с точностью до числовых коэффициентов порядка единицы эти параметры даются соотношениями:

$$\gamma \sim \sqrt{\Gamma \bar{v}/a}, \vartheta \sim [\Gamma^2 \ln(\bar{v}/\Gamma a)]^{-1} \quad (4.10)$$

В одномерном же случае (широкий гауссов пучок) для  $\gamma$  и  $\vartheta$  остаются в силе соотношения (3.11).

Увеличение констант затухания (при увеличении давления) приводит к следующей модификации "провала" в области сильной расходности пучка (двумерный случай;  $d \gg b$ ). До тех пор, пока выполнено условие (4.10), "провал" уширяется по коренному закону ( $\sim \sqrt{\Gamma}$ ). В области давлений, где справедливо условие

$$\bar{v}/d \ll \Gamma_j, \Gamma \ll \bar{v}/b, \quad (4.12)$$

необходимо пользоваться формулой (3.20). Величину  $\gamma$  из (3.20), с учетом соотношений (4.2), (4.3) для реальных пучков, можно представить в виде ( $\Gamma_j = \Gamma$ ):

$$\gamma \cong \sqrt{\frac{2}{\pi}} \sqrt{\Gamma \bar{v}/a} \left( \frac{\bar{v}}{\Gamma d} \sqrt[4]{d/a} \right). \quad (4.13)$$

Комбинация  $(\bar{v} \sqrt[4]{d/a})/\Gamma d$  в силу условия (4.12) может быть значительно меньше единицы, в связи с чем "провал" оказывается намного уже, чем в "шейке". Вообще говоря, этот факт не должен вызывать удивление, т.к. размер  $b$  первой зоны Френеля всегда больше диаметра "шейки".

В рамках условия (4.12) ширина "провала" уменьшается с увеличением давления (пропорционально  $1/\sqrt{\Gamma}$ ). В области больших давлений ( $\Gamma, \Gamma_j \gg \bar{v}/b$ ) "провал" имеет обычную дисперсионную форму с полушириной  $\gamma = \Gamma$ , пропорциональной давлению.

Качественный график изменения ширины "провала" с изменением давления показан на рис.8 (кривая 1). Кривая 2 характеризует изменение ширины "провала" в "шейке". В области малых ( $\Gamma d/\bar{v} \ll 1$ ) и больших ( $\Gamma \alpha/\bar{v} \gg 1$ ) давлений кривые огибает. Частотная модуляция (в том случае, когда она существует) приводит к более сложной зависимости ширины "провала" от давления с наличием максимума и минимума. Примечателен тот факт, что в области сильной расходности пучка "провал" при любом давлении может быть разве лишь уже, чем в области "шейки". Таким образом, применяемую для целей стабилизации частоты поглощающую ячейку при заданной конфигурации поля в резонаторе выгодней располагать дальше от "шейки", так как в этом случае может быть получен более узкий резонанс в мощности генерации как функции частоты. Эту рекомендацию следует принимать во внимание, однако, лишь в том случае, если по каким-либо причинам используется сильно расходящийся световой пучок.

## 5. О сдвиге "провала" Лэмба

Системы автоподстройки в схемах стабилизации частоты по "провалу" Лэмба более чувствительны к сдвигу минимума "провала" относительно частоты атомного перехода, чем к его уширению. Поэтому при анализе сдвига "провала" необходимо учитывать более тонкие эффекты, по сравнению с эффектами, приводящими к уширению.

Существенно несимметричная пространственная картина при частотной модуляции заставляет обратиться к вопросу о сдвиге "провала" Лэмба под действием искривления волнового фронта. В рамках приближений, использованных в предыдущих разделах, "провал" оказался симметричным относительно  $\Omega = 0$ . Этот факт, однако, является общим для случая стоячей волны произвольной пространственной конфигурации<sup>x)</sup>. Действительно, для стоячей волны функцию  $g(\tilde{z})$  в (1.1) всегда можно выбрать вещественной.

<sup>x)</sup>Мы не рассматриваем, естественно, эффекты, связанные с упругими столкновениями частиц и ограничиваемся моделью трех релаксационных констант. В величину  $\Gamma$  можно включить мнимую часть  $i\Delta$ . В этом случае следует говорить о симметрии относительно точки  $\Omega = \Delta$ .

Далее, с помощью замены

$$\rho(\vec{z}) = i R(\vec{z})$$

и интегрирования вдоль траектории, уравнения (1.1) можно свести к следующим эквивалентным интегральным уравнениям:

$$\begin{aligned} \rho_j(\vec{z} + \vec{v}t) &= \int_{-\infty}^t e^{-\Gamma_j(t-t')} Q_j(\vec{z} + \vec{v}t') dt' + \\ &+ 2 \int_{-\infty}^t \operatorname{Re} e^{-\Gamma_j(t-t')} G g(\vec{z} + \vec{v}t') R(\vec{z} + \vec{v}t') dt', \\ \operatorname{Re}[R(\vec{z} + \vec{v}t)] &= G \int_{-\infty}^t e^{-\Gamma(t-t')} g(\vec{z} + \vec{v}t') \cos[\Omega(t-t')] \cdot \\ &\cdot [\rho_m(\vec{z} + \vec{v}t') - \rho_n(\vec{z} + \vec{v}t')] dt'. \end{aligned} \quad (5.1)$$

Отстройка частоты  $\Omega$  входит здесь только в аргумент косинуса, поэтому как уравнения (5.1), так и их решение инвариантны относительно изменения знака  $\Omega$ . Из этого следует, в частности, что график работы поля как функции  $\Omega$  симметричен относительно точки  $\Omega = 0$ .

В действительности, однако, стоячая волна никогда в чистом виде не реализуется. Из-за потерь в зеркалах резонатора амплитуды встречных бегущих волн оказываются разными, так что в случае частотной модуляции функция  $g(\vec{z})$  оказывается комплексной. Это приводит к тому, что в графике работы поля присутствует несимметричный по  $\Omega$  член. Мы оценим влияние этого члена на сдвиг максимума линии работы поля. Для этой цели выберем  $g(\vec{z})$  в виде:

$$g(\vec{z}) = \cos \varphi(\vec{z}) + \frac{\epsilon}{2} e^{-i\varphi(\vec{z})}; \quad \varphi(\vec{z}) = Kz + \frac{K(x^2+y^2)}{2z_0}. \quad (5.2)$$

Здесь также использовано параболическое приближение с постоянным по  $\bar{z}$  радиусом кривизны  $z_0$ . При  $\varepsilon=0$  форма (5.2) переходит в (3.1). Параметр  $\varepsilon$  в общем случае комплексный.

Прежде всего определим сдвиг максимума линии ненасыщенного усиления (поглощения). Вычисления проводятся, как и прежде, для окрестности некоторой точки, лежащей на оси  $\bar{z}$ . Выражение для работы поля в линейном по  $G^2$  приближении имеет вид (двумерный случай):

$$\begin{aligned} \mathcal{P} = \hbar\omega \frac{G^2}{2} N Re \int_0^\infty d\tau & \left[ \frac{\exp[-(\Gamma-i\Omega)\tau - (\kappa\bar{v}\tau/2)^2]}{1 + i(\bar{v}\tau/\ell)^2} + \right. \\ & \left. + |1+\varepsilon|^2 \frac{\exp[-(\Gamma-i\Omega)\tau - (\kappa\bar{v}\tau/2)^2]}{1 - i(\bar{v}\tau/\ell)^2} \right], \quad \ell = \sqrt{2z_0/\kappa}. \end{aligned} \quad (5.3)$$

Во всей эффективной области изменения подинтегральной функции мнимые части знаменателей в (5.3) малы по сравнению с единицей. Поэтому можно воспользоваться разложением дроби в ряд по малому параметру  $(\bar{v}\tau/\ell)$ . Используя условие  $\Gamma \ll \kappa\bar{v}$  и оставляя главные члены, получаем следующее выражение для  $\mathcal{P}$  вблизи  $\Omega = 0$ :

$$\begin{aligned} \mathcal{P} = \hbar\omega \frac{G^2}{2} N \frac{\sqrt{\pi}}{\kappa\bar{v}} & \left[ 1 + |1+\varepsilon|^2 + (|1+\varepsilon|^2 - 1) \frac{4}{\sqrt{\pi}} \frac{1}{\ell^2 \kappa^2} \left( \frac{\Omega}{\kappa\bar{v}} \right) - \right. \\ & \left. - (1 + |1+\varepsilon|^2) \left( \frac{\Omega}{\kappa\bar{v}} \right)^2 \right]. \end{aligned} \quad (5.4)$$

Появившийся здесь линейный по  $\Omega$  член нарушает симметрию линии относительно  $\Omega = 0$ . Нетрудно видеть, что максимум в (5.4) находится в точке

$$\Omega = \frac{2}{\sqrt{\pi}} \frac{\bar{v}}{\kappa\ell^2} \left( \frac{|1+\varepsilon|^2 - 1}{|1+\varepsilon|^2 + 1} \right) = \frac{1}{\sqrt{\pi}} \frac{\bar{v}}{z_0} \left( \frac{|1+\varepsilon|^2 - 1}{|1+\varepsilon|^2 + 1} \right). \quad (5.5)$$

Таким образом, с точностью до коэффициента, определяющего долю бегущего компонента в (5.2), сдвиг максимума линии ненасыщенного усиления (поглощения) определяется средним временем пролета радиуса кривизны волнового фронта (или, что то же самое, допплеровским сдвигом для соответствующего волнового числа  $1/\tau_0$ ). Для чисто стоячей волны ( $\varepsilon=0$ ) коэффициент при  $\bar{v}/\tau_0$  в (5.5) обращается в нуль (сдвиг отсутствует), для бегущей волны ( $\varepsilon \gg 1$ ) он максимальен и по порядку величины равен единице. В реальных условиях ( $\bar{v} \sim 10^5$  см/сек,  $\tau_0 \sim 10^2$  см) сдвиг может достигать порядка  $10^3$  сек.

Перейдем теперь к оценке сдвига минимума "провала" Лэмба. Конкретные вычисления с использованием естественных приближений дают следующее выражение для функции  $J_j(\Omega)$ , аналогичной (3.3):

$$J_j(\Omega) = \operatorname{Re} \int_0^\infty d\tau \left\{ \frac{\exp(-2\Gamma\tau + i2\mu^2\tau^2/\ell^2)}{\Gamma_j - 2i\mu^2\tau^2/\ell^2} |1+\varepsilon|^2 \cos(2\Omega\tau) + \right. \quad (5.6)$$

$$\left. + \frac{\mu^2}{\ell^2} \Omega \left( \frac{2}{K\bar{v}} \right)^3 \frac{(|1+\varepsilon|^4 - 1)}{\Gamma_j^2 + (2\mu^2\tau^2/\ell^2)^2} \int_j \left[ \frac{1}{\sqrt{\pi}} e^{-(K\bar{v}\tau/2)^2} + \right. \right. \\ \left. \left. + \left( \frac{K\bar{v}\tau}{2} \right) \left( 1 - \Phi \left( \frac{K\bar{v}\tau}{2} \right) \right) \right] \right\} W(\mu).$$

Первый член в (5.6) с точностью до коэффициента  $|1+\varepsilon|^2$  совпадает с (3.3), линейный по  $\Omega$  член определяет сдвиг "провала". Сдвиг исчезает, как и должно быть, в случае либо  $\mu \rightarrow 0$ , либо  $\varepsilon \rightarrow 0$ .

Для оценки максимального сдвига можно во втором члене вместо  $\mu$  подставить  $\bar{v}$ . Вблизи  $\Omega=0$ , используя разложение (3.18), нетрудно получить:

$$J(\Omega) \cong \frac{\pi \bar{v}^2}{4} \left\{ \left[ \ln \left( \frac{4}{\pi^{3/2} \Gamma_j \bar{v}} \right) - \frac{2\bar{v}^2}{\pi} \Omega^2 \ln \frac{\sqrt{\pi}}{2\Gamma_j \bar{v}} \right] |1+\varepsilon|^2 + \right. \\ \left. + \frac{2}{\pi} \left( \frac{\bar{v}}{\ell} \right)^2 \left( \frac{2}{K\bar{v}} \right)^3 \frac{(|1+\varepsilon|^4 - 1)}{\sqrt{1 + \left( \frac{K\bar{v}}{2} \frac{\ell^2}{\Gamma_j^2} \right)^2}} \Omega \right\}. \quad (5.7)$$

Максимум этой функции лежит в точке

$$\Omega \cong \frac{1}{2} \left( |1+\varepsilon|^4 - 1 \right) \frac{1}{|1+\varepsilon|^2} \frac{\bar{v}^4}{\delta^4} \left( \frac{2}{\kappa \bar{v}} \right)^3 \frac{\left[ \ln(\sqrt{\pi}/2\sqrt{\varepsilon}) \right]^{-1}}{\sqrt{1 + \left( \frac{\kappa \bar{v}}{2} \frac{\delta^2 \gamma_i}{2 \bar{v}^2} \right)^2}} < \\ < \left( \frac{\bar{v}}{\tau_0} \right) \left( \frac{1}{\kappa \tau_0} \right) \sim \frac{\bar{v}}{\tau_0} \frac{\lambda}{\tau_0}. \quad (5.8)$$

Это соотношение показывает, что сдвиг минимума "провала" Лэмба относительно частоты атомного перехода пренебрежимо мал как по сравнению со сдвигом линии ненасыщенного усиления (поглощения), так и по сравнению с шириной "провала" (величина  $(\bar{v}/\tau_0)(\lambda/\tau_0)$  может составлять лишь малую долю обратной секунды).

Таким образом, основные эффекты частотной модуляции могут быть связаны с уширением "провала" Лэмба, но не с его сдвигом. Сдвиг линии ненасыщенного усиления экспериментально также вряд ли может быть обнаружен из-за существенно большей ширины допплеровского контура.

Автор приносит благодарность С.Г.Раутиану за постановку задачи, полезные обсуждения и ценные замечания.

### Л и т е р а т у р а

- /1/ С.Г.Раутиан, А.М.Шалагин. ЖЭТФ, Письма. 9, 686, 1969.
- /2/ С.Г.Раутиан, А.М.Шалагин. ЖЭТФ, 58, 962, 1970.
- /3/ В.С.Летохов. Препринт ФИАН, № 19, 1969.
- /4/ С.Н.Багаев, Л.С.Василенко, В.П.Чеботаев. Препринт ИФП  
СО АН СССР, № 15, 1970.

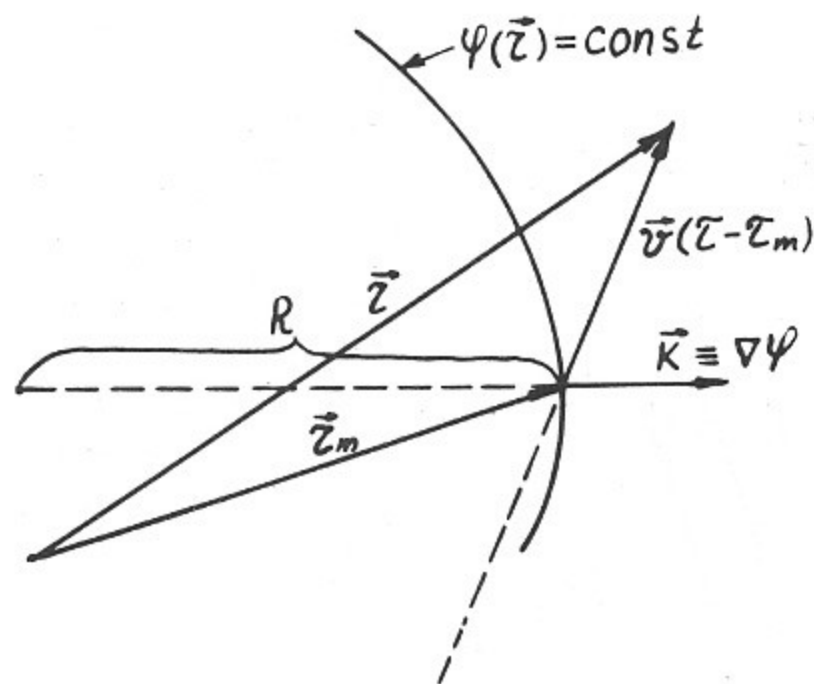


Рис. 1

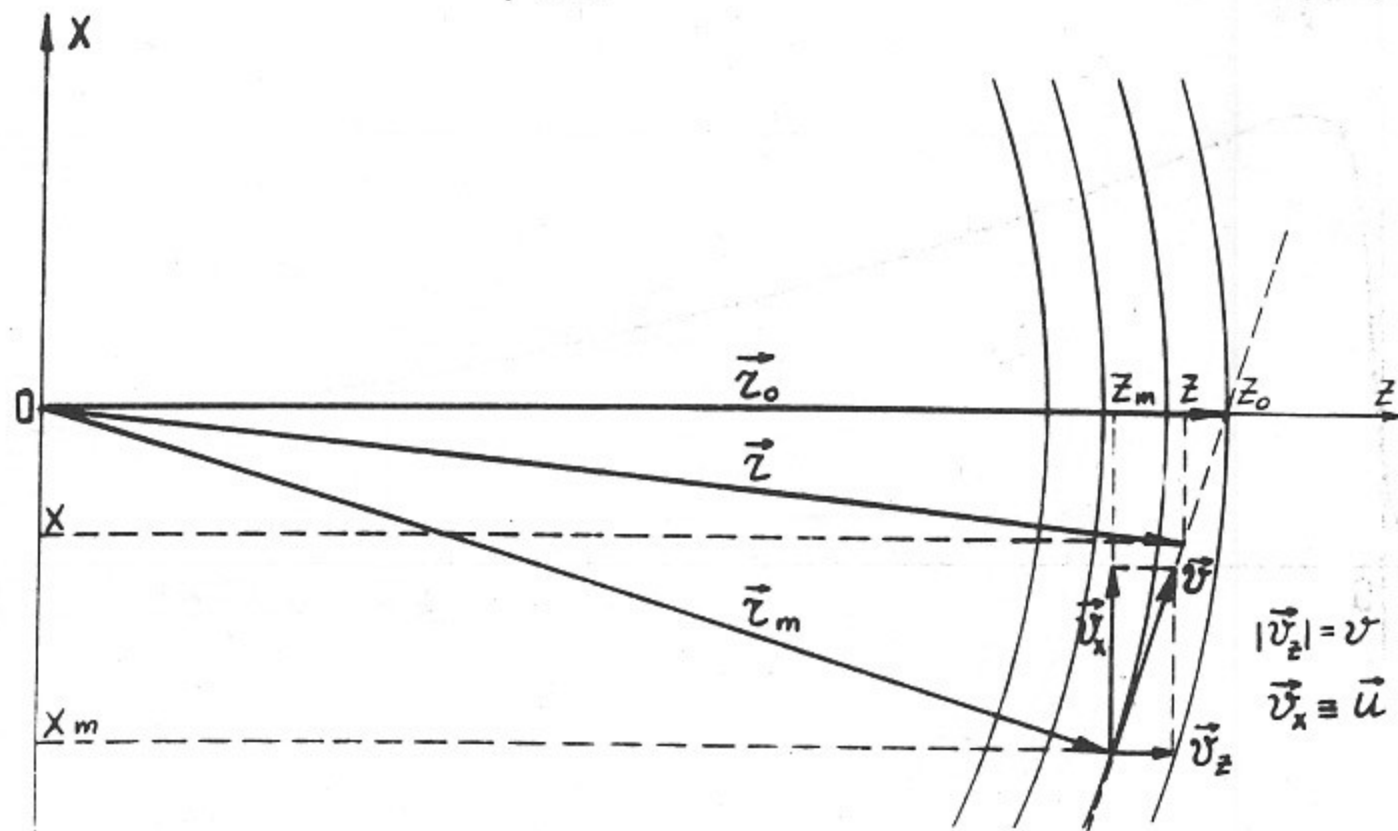


Рис. 2

Рис.1,2. (Пояснения в тексте).

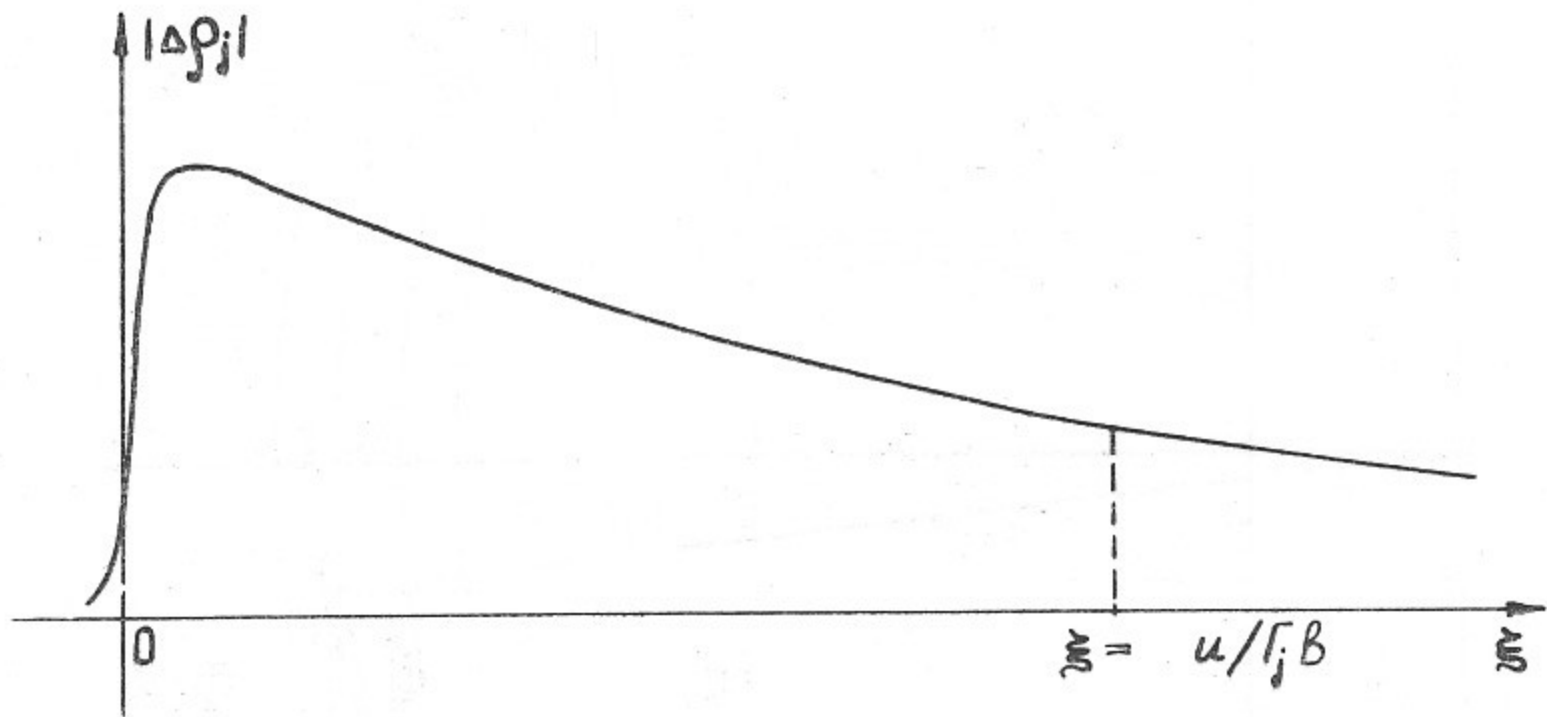


Рис.3. Зависимость  $|\Delta\phi_j|$  от величины  $\xi$  ( $\Gamma_b/u \ll 1$ ).  
При  $x = 0$  этот график изображает "провал" Беннета.

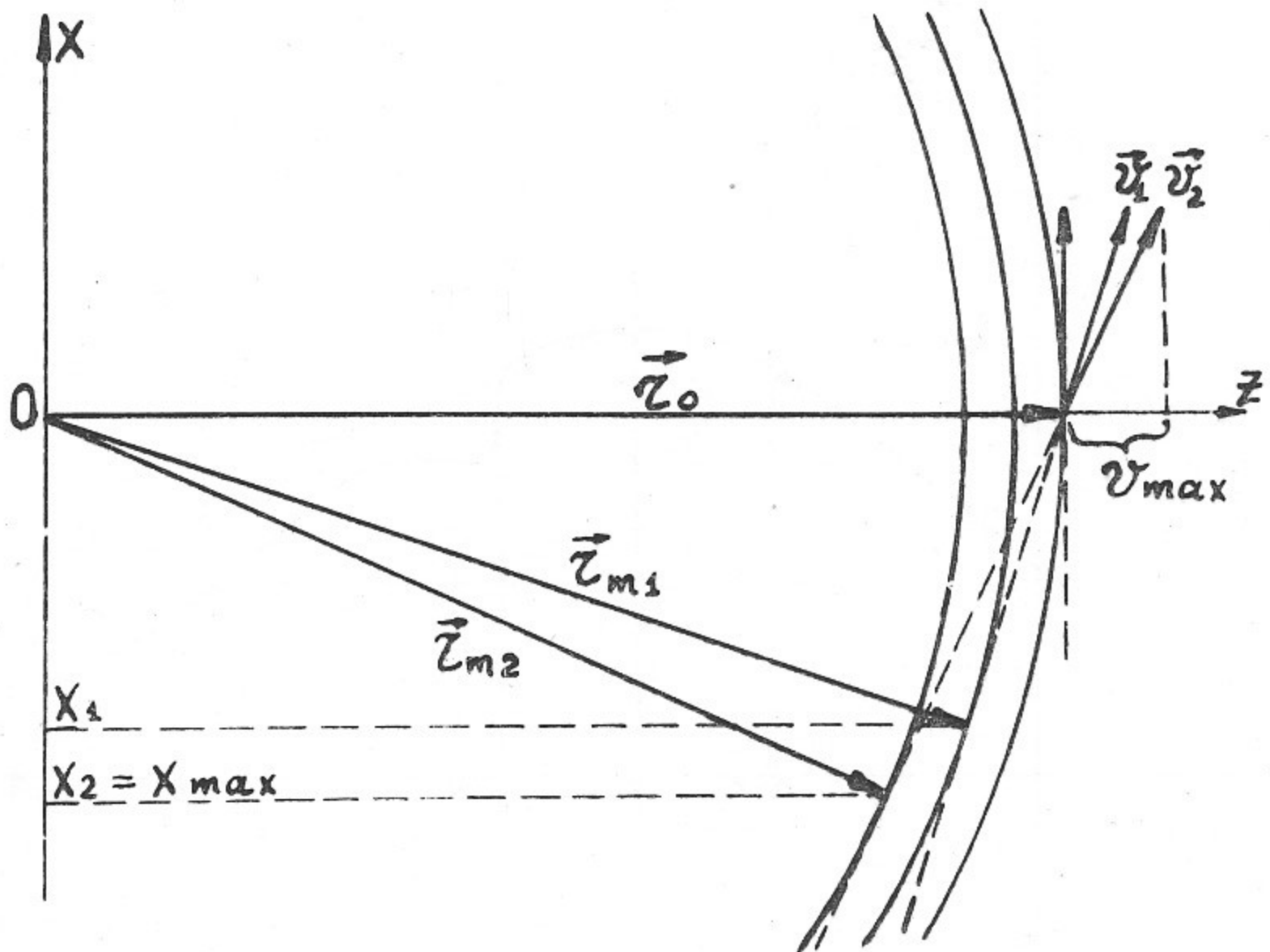


Рис.4. Иллюстрация к оценке ширины "провала" Беннета ( $\Omega = 0$ ).  
 $X_1$ ,  $X_2$  — ординаты точек касания траекторией частицы  
 волнового фронта.

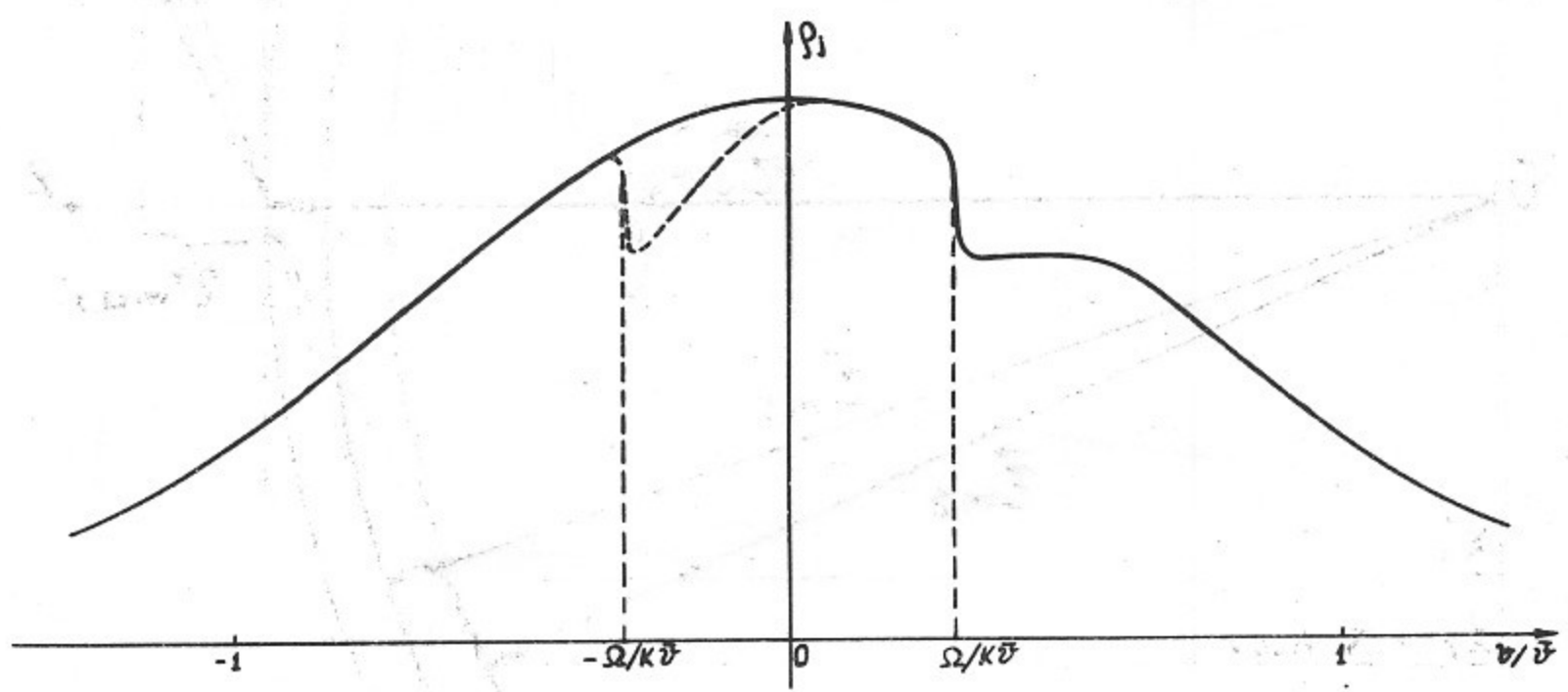


Рис.5. Распределение по скоростям  $v$  полной заселенности уровня  $j$  при заданной скорости  $v > \Gamma_j b, \Gamma b$  и  $\Omega \neq 0$ .  
Пунктиром показан "мровал" Беннета, появляющийся при наличии встречной волны.

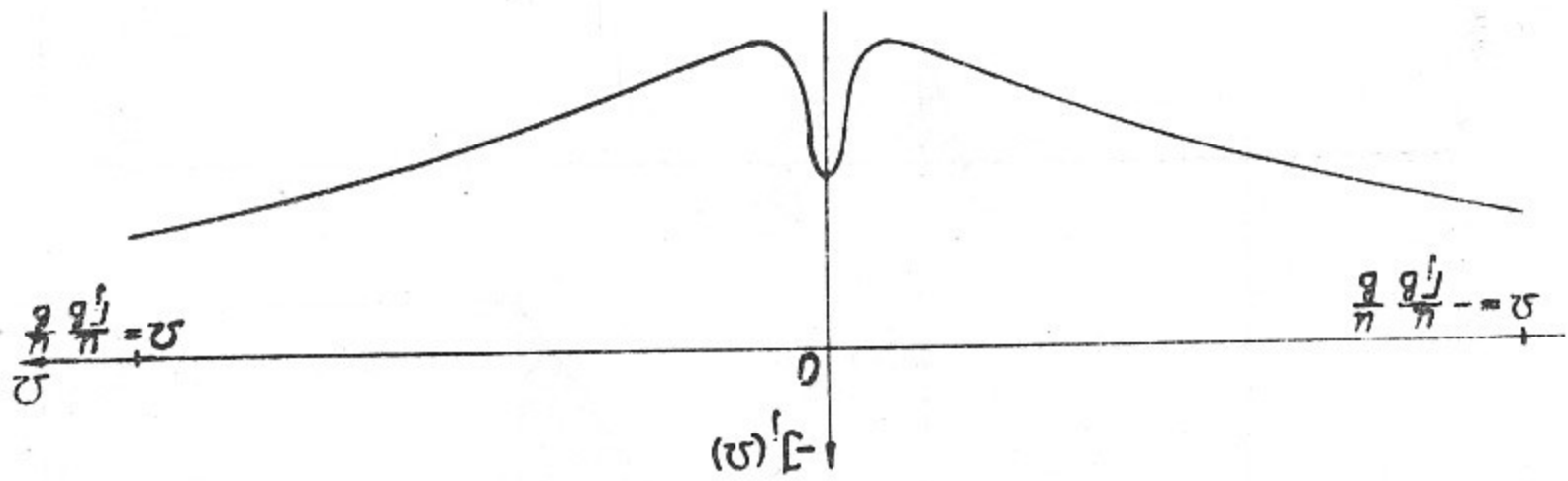


Рис. 6. Вид "провала" Лэмба для ансамбля частиц с фиксированной скоростью  $v \gg \Gamma_j b$  и максвелловским распределением по  $v$ . Ширина узкой структуры  $\sim \kappa/b$ .

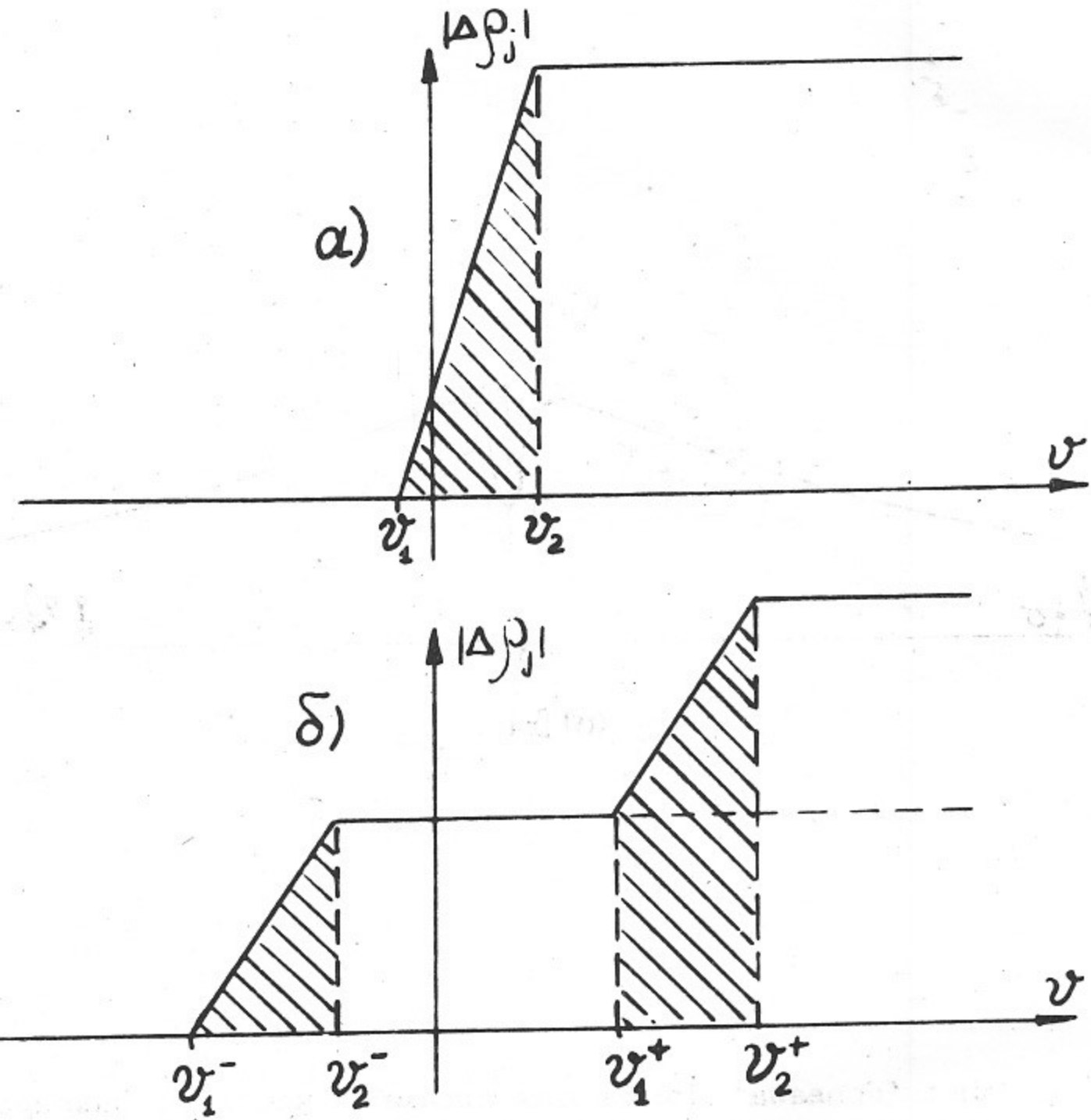


Рис. 7. Иллюстрация к объяснению узкой структуры в "провале" Лэмба. а)  $\Omega = 0$ ; б)  $\Omega \neq 0$ .

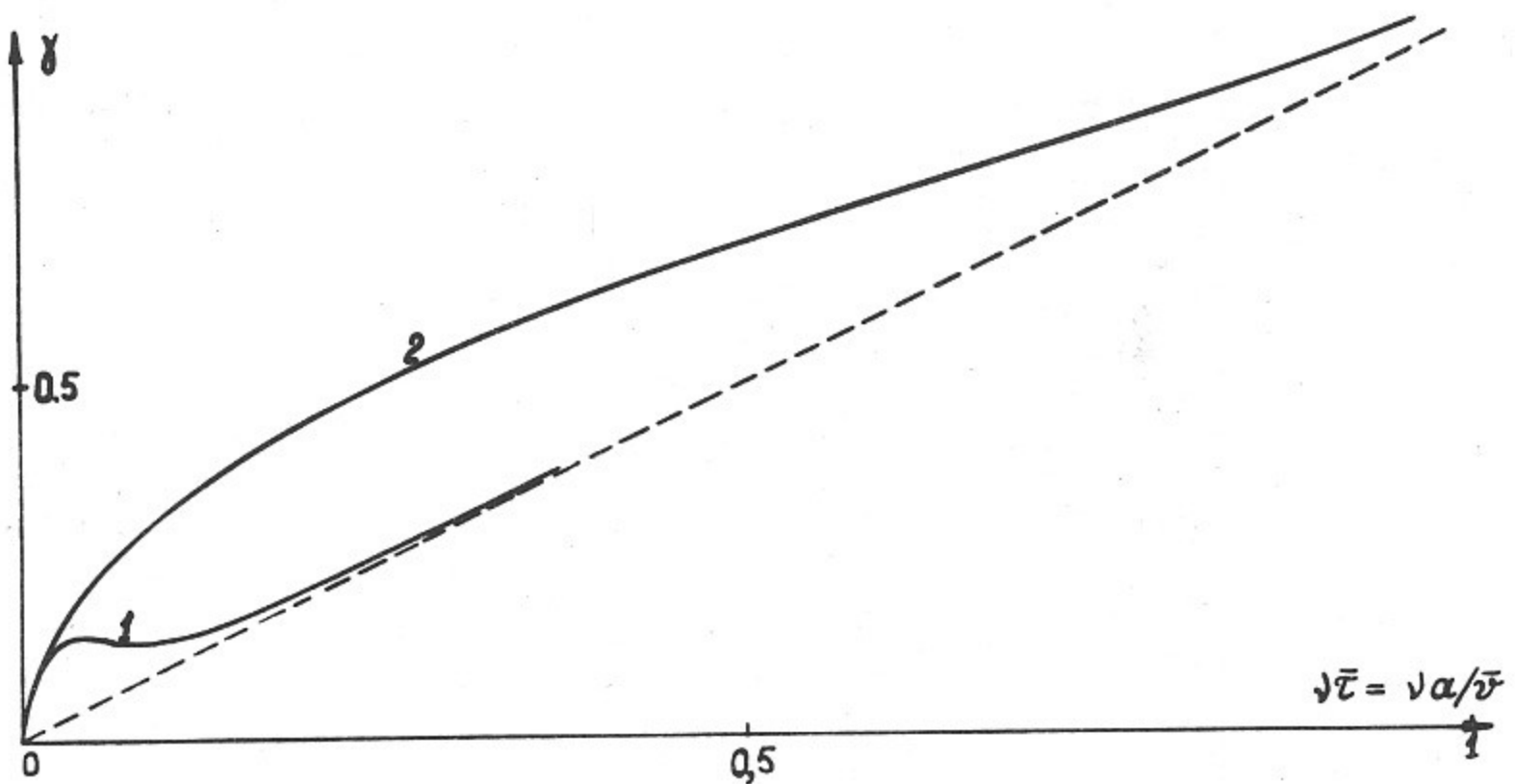


Рис.8. Пример качественных графиков зависимости ширины "провала" Лэмба от давления. Гауссов пучок: кривая 1 относится к области сильной угловой расходимости ( $a/b \sim b/a \sim 10$ ), кривая 2 - к области "шейки". Модель релаксационных констант;  $\Gamma_j = \Gamma \cong \nu$ ;  $\nu$  - частота столкновений. Пунктиром показана зависимость  $\gamma = \nu$ .

Ответственный за выпуск Шалагин А.М.

Подписано к печати 10.5.72. № 10284

Усл. 1,8 печ. л., тираж 200 экз. Бесплатно.

Заказ № 38 . ПРЕПРИНТ

Отпечатано на ротапринте в ИЯФ СО АН СССР, вг.